



Suluova (Amasya) kuzeyindeki kömürlü Eosen çökellerinin sedimentolojik özelliklerini

Sedimentological characteristics of the coal-bearing Eocene deposits at the north of Suluova (Amasya)

Calibe KOÇ, İbrahim TÜRKMEN

Fırat Üniversitesi, Mühendislik Fakültesi, Jeoloji Mühendisliği Bölümü, 23119 ELAZIĞ

ÖZ

Bu çalışmada Amasya ili Suluova ilçesinin kuzeyinde yer alan kömürlü Eosen çökellerinin sedimentolojik özelliklerini incelenmiştir. Üst Kretase yaşı Doğdu Formasyonu üzerine uyumsuz olarak gelen Eosen yaşı tortul istif alttan üstde doğru; Çeltek Formasyonu, Armutlu Formasyonu ve Osmanoğlu Formasyonu'ndan oluşur. Bu istif Pliyosen çökelleri tarafından uyumsuz olarak örtülüdür. Çeltek ve Armutlu formasyonlarında 9 fasiyes ve 6 fasiyes topluluğu ayrılmıştır. Bu fasiyesler; tabakalı konglomera (F1), kalın tabakalı kumtaşları (F2), paralel laminalı kumtaşları (F3), büyük ölçekli düzlemsel çapraz tabakalı kumtaşları (F4), dalgalı tabakalı kumtaşları (F5), gri-yeşil çamurtaşları (F6), kırmızı çamurtaşları (F7), organik maddeli gri-boz çamurtaşları (F8) ve kömürlerdir (F9). Delta düzlüğü tortulları F1, F2, F8 ve F9 ile temsil edilirken delta önü çökelleri F2 ve F6'dan oluşur. Lagün fasiyes topluluğu F2, F6 ve F9'dan meydana gelir. Kıyı yüzü tortulları F4 ve F6, kıyı ötesi-geçiş tortulları F3, F5, F6 ve F7, kıyı ötesi fasiyes topluluğu ise F3 ve F6'dan oluşur. Çeltek Formasyonu'nda yer alan kömür damarları delta düzüğündeki göl ve bataklıklarda, Armutlu Formasyonu'na ait kömürler ise lagünde olmuştur.

Anahtar kelimeler: Amasya, delta, kömür, litofasiyes, sıg deniz.

ABSTRACT

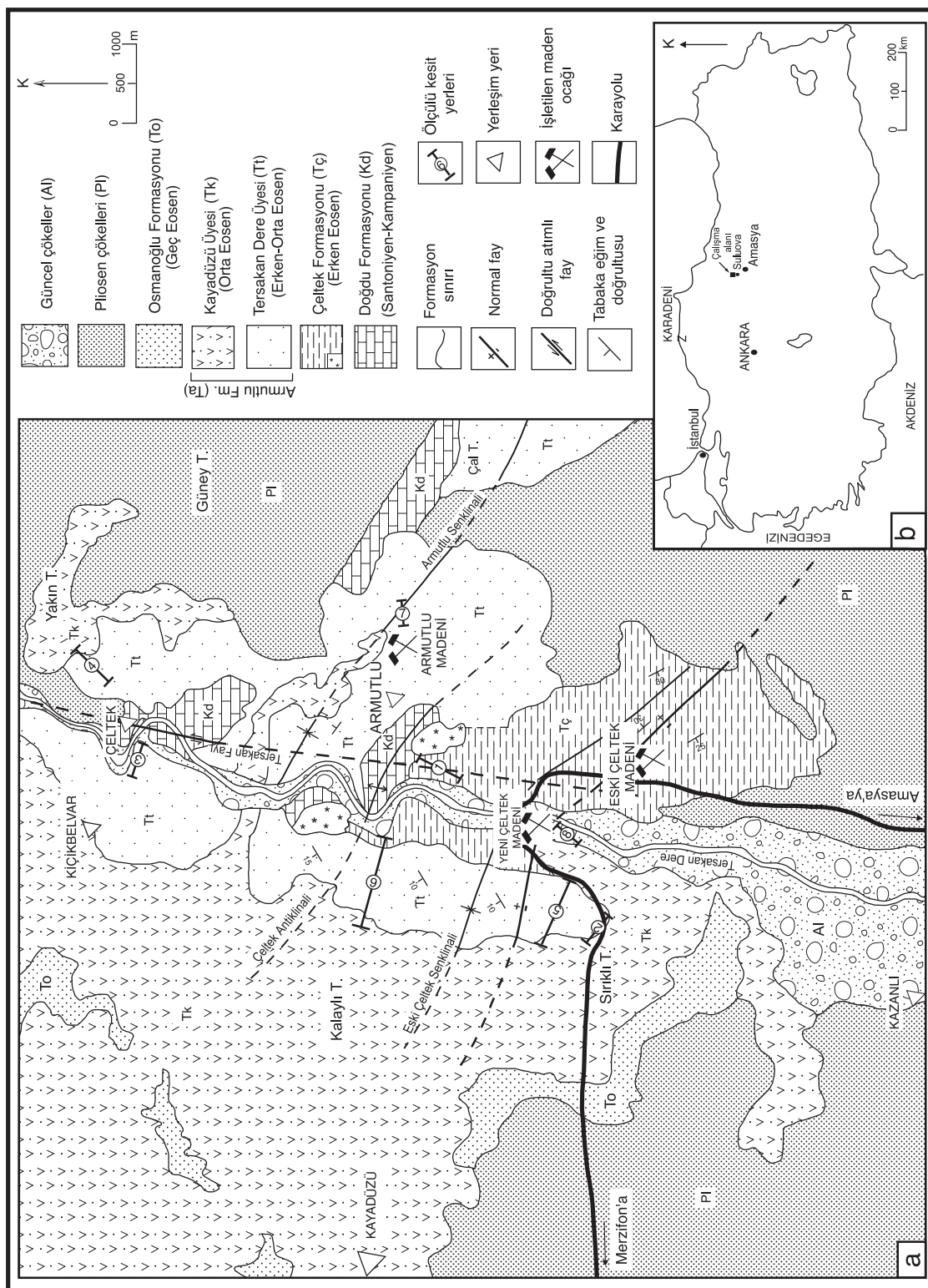
The sedimentologic characteristics of coal-bearing Eocene deposits occurring at the north of Suluova (Amasya) have been examined in this study. The Eocene sedimentary sequence, resting unconformably on the Upper Cretaceous Doğdu Formation, comprises of the Çeltek Formation, the Armutlu Formation and the Osmanoğlu Formation. It is unconformably overlain by the Pliocene deposits. Nine facies and six facies association were identified in the Çeltek and Armutlu formations. These facies are ; bedded conglomerates (F1), thick bedded sandstones (F2), parallel laminated sandstone (F3), large cross-bedded sandstone (F4), wavy bedded sandstones (F5), grey-green mudstones (F6), red mudstones (F7), organic rich grey mudstones (F8) and coal (F9). Delta plain facies association comprises of F1, F2, F8 and F9 facies; delta front deposits, of F2 and F6 facies; lagoon facies association, of F2, F6, and F9 facies; shoreface sediments, of F4 and F6; offshore-transition deposits, of an alternation of F3, F5, F6 and F7 facies; offshore facies association, of F3 and F6 facies. The coal of the Çeltek Formation and Armutlu Formation were deposited in ponds and swamps of a delta plain and in a lagoon, respectively.

Key words: Amasya, delta, coal, lithofacies, shallow marine.

GİRİŞ

İnceleme alanı, Amasya ili Suluova ilçesinin kuzeyindeki Kayadüzü nahiyesi, Armutlu, Kazanlı ve Çeltek köyleri dolaylarında yer almaktır (Şekil 1a).

Türkiye'nin önemli kömür sahalarından olan Çeltek ve Armutlu yörenleri önemli kömür potansiyeline sahip olduğundan, bu bölgedeki jeolojik araştırmalar oldukça uzun süreden beri devam etmektedir (Pekmezci, 1953; Barutoğlu,



Sekil 1. İnceleme alanının (a) Jeoloji haritası (Özdemir ve Pekmezci, 1983 ve Gümüşsu, 1984'den değiştirilerek alınmıştır) ve (b) yer bulduru haritası.
Figure 1. (a) Geological map of the study area (modified from Özdemir and Pekmezci, 1983 and Gümüşsu, 1984) and (b) location map.

1954; Lebküchner, 1967; Hezarfan, 1974; Gümüşsu, 1978, 1984; Öztürk, 1979; Özdemir ve Pekmezci, 1983). Kömürlerin ayrıntılı petrografik (Eriş, 1996; Karayıgit vd., 1996) ve palinolojik özellikleri (Akgün, 2000) incelenmiş, ayrıca Atalay (2001), Çeltek Formasyonu'nun stratigrafisi ve sedimentolojik özelliklerine yönelik araştırmalar yapmıştır.

Gerek Çeltek Formasyonu gerekse Armutlu Formasyonu hakkında ayrıntılı sedimentolojik araştırma sayısı azdır. Bu amaçla Çeltek ve Armutlu formasyonlarının uygun yüzeylemelerinden ölçülu stratigrafik kesitler alınmıştır. Bu kesitlerin alınması sırasında yüzeylemelerin litolojisi, renge, dokusal özelliği, fosil içeriği, sedimanter yapıları ve geometrik özellikleri üzerinde durulmuş, amaca uygun örnekler alınmıştır. Kayaç örneklerinin polarizan mikroskopta petrografik ve paleontolojik özellikleri incelenmiş ve laboratuvar verileri ile arazi gözlemleri birleştirilerek fasiyes analizleri yapılmıştır. Buradaki fasiyes ilişkilerinden yararlanılarak çökelme ortamları ortaya çıkarılması amaçlanmıştır.

STRATİGRAFİ

İnceleme alanındaki litostratigrafi birimlerini alttan üste doğru Doğu Formasyonu, Çeltek Formasyonu, Armutlu Formasyonu, Osmanoğlu Formasyonu ve Neojen çökelleri oluşturur (bkz. Şekil 1a ve 2). Santonyen-Kampaniyen yaşı Doğu Formasyonu gri-beyaz tabaklı kireçtaşları ile temsil edilmekte olup, inceleme alanının yakın doğusunda Ladik dolaylarında (Öztürk, 1979) tarafından tanımlanmıştır. Bu birimi uyuşsuz olarak üzerleyen Alt Eosen yaşı Çeltek Formasyonu; konglomera, kumtaşı, çamurtaşları ve kömürlerden oluşur. Çeltek Formasyonu ile yanal-düsey ilişkili Armutlu Formasyonu (Erken-Orta Eosen) alt düzeylerinde kalın tabaklı kumtaşları (kuvars arenit ve litarenit), çapraz tabaklı kumtaşları, dalgalı tabaklı kumtaşları ve gri-kırmızı çamurtaşlarından meydana gelir. Formasyonun üst düzeyleri ise gri çamurtaşları ile ardalanmalı aglomera, tüfit ve bazaltik-andezitik lav akıntıları içerir. Bu birimi uyuşlu olarak üzerleyen Osmanoğlu Formasyonu konglomera ve kumtaşlarından kurulu olup, yaşı stratigrafik konumuna göre Geç Eosen olarak verilmiştir (Gümüşsu, 1984). Eosen çökellerini uyuşsuz olarak üzerleyen Neojen çökelleri konglomera ve kumtaşlarından oluşur. Buradaki

Eosen tortulları inceleme alanının güney ve güneydoğusunda mermer, şist, metaçört ve metadiyabazlardan oluşan Tokat Masifi ve Jura-Kretase kireçtaşları ile sınırlanır.

Bu çalışmanın amacıyla uygun olarak, bu bölümde Çeltek ve Armutlu formasyonlarının stratigrafik özellikleri ayrı başlıklar altında ayrıntılı olarak verilmiştir.

Çeltek Formasyonu

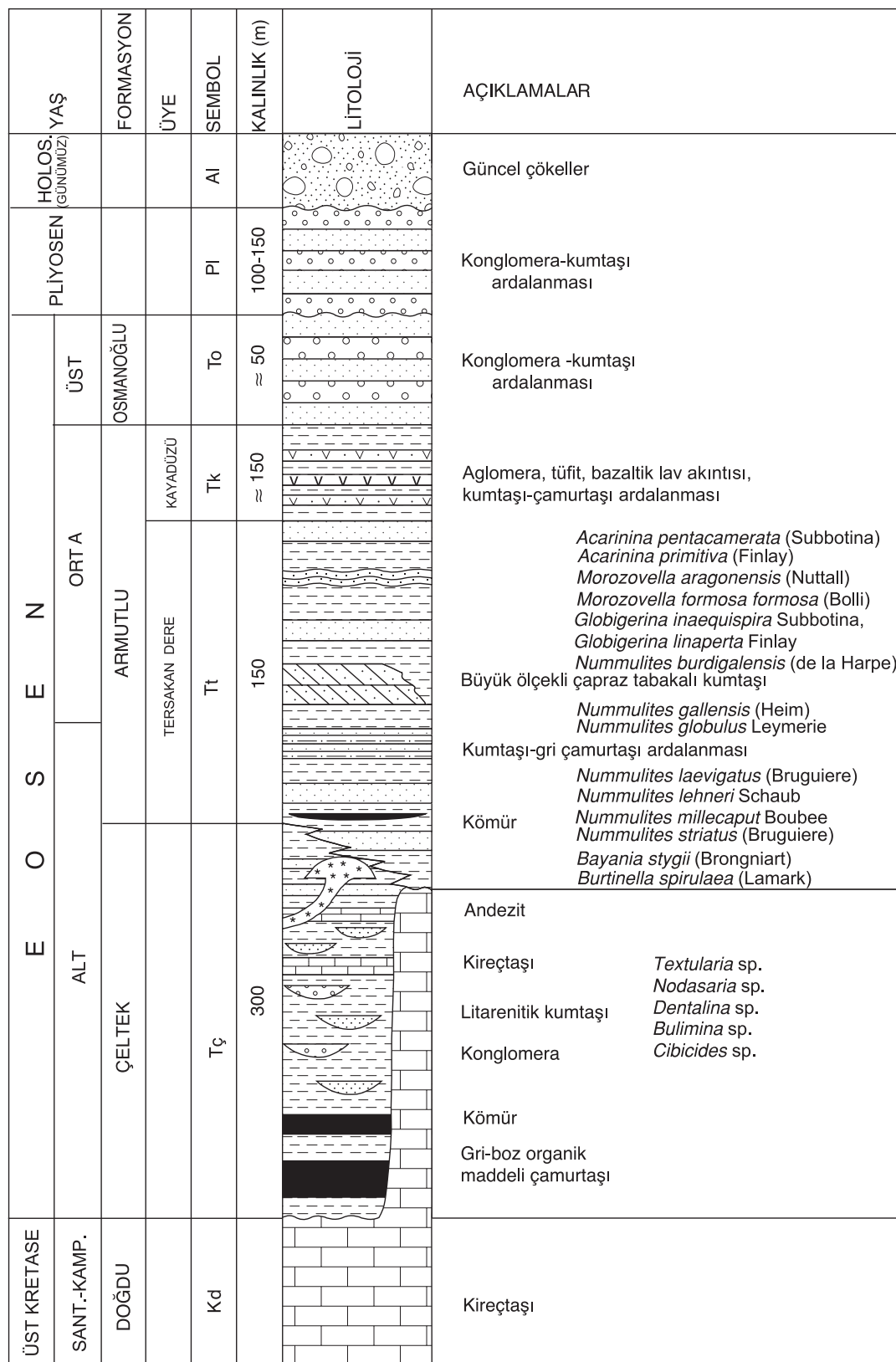
İlk defa Blumenthal (1937) tarafından adlandırılan bu formasyon Armutlu Köyü güney ve güneybatısında geniş yayılım sunmaktadır. Formasyon Doğu Formasyonu'nu uyumsuzlukla örter ve üstteki Armutlu Formasyonu ile yanaldışej geçişli olup Pliyosen çökelleri tarafından uyumsuzlukla üzerlenir (bkz. Şekil 1a, 2).

Formasyon, alt-orta seviyelerinde genellikle organik maddeli gri-boz renkli çamurtaşları (bitümlü şeyl) ve kömürlerle temsil edilir. Çamurtaşları yer yer ince-orta taneli kumtaşı ara seviyeleri içerir. Birimin stratigrafik üst düzeyleri ise tabakalı konglomera, iri taneli kumtaşı ve gri çamurtaşı ardalanmasından oluşur. Çört, volkanik ve metamorfik kayaç parçaları olasılıkla inceleme alanının güney ve güneydoğusundaki Tokat Masifi'nden türemiştir. Bu formasyon içerisinde porfirik dokulu bir andezitik sokulumda gözlemlenmektedir (Şekil 1a, 2). Bu çalışma sırasında formasyonun kalınlığı 50 m olarak ölçülmüştür. Ancak Karayıgit vd., 1996 sondaj verilerine göre birimin kalınlığını 250-300 m arasında değiştirdiğini belirtmektedirler.

Blumenthal (1937) formasyona Alt Eosen yaşı verirken, Akgün (2000) palinolojik incelemeler sonucu Orta-?Geç Eosen yaşı vermiştir. Koç (2002) bu birimin üst düzeyleri ile yanal geçişli olan Armutlu Formasyonu'nun yaşı paleontolojik verilere göre Erken-Orta Eosen olarak vermiştir. Bu stratigrafik ilişkiye dayanılarak Çeltek Formasyonu'na Erken Eosen yaşı kabul edilmiştir.

Armutlu Formasyonu

Birim, ilk kez Blumenthal (1937) tarafından adlandırılmış ve haritalanmıştır. Formasyon Koç (2002) tarafından Tersakan Dere üyesi ve Kayadüzü üyesi olmak üzere iki üyeye ayrılarak incelemiştir (bkz. Şekil 1a, 2).



Şekil 2. İnceleme alanının genelleştirilmiş stratigrafik kesiti (ölçeksiz).
 Figure 2. Generalized stratigraphic section of the study area (not-to-scale).

Tersakan Dere üyesi: İlk kez Koç (2002) tarafından tanımlanan birim Armutlu ve Çeltek köyleri çevresinde geniş yüzeylemeler sunar. Doğdu Formasyonu'nu uyumsuz olarak üzerleyen birim Kayadüzü üyesi ile örtülüdür. Ancak bazı yüzeylemelerinde de Çeltek Formasyonu ile yanal geçişli olduğu görülür (Şekil 2). Birim; genellikle kumtaşı-çamurtaşı ardalanması, yer yer kumtaşı araseviyeleri içeren çamurtaşlarından oluşur. Armutlu Köyü çevresindeki Armutlu ocağında ise, litarenitik bileşimli kalın tabaklı kumtaşları, gri-yeşil çamurtaşları ve kömürlerle temsil edilir. Birimin, Armutlu Köyü kuzeyinde ölçülen en fazla kalınlığı 150 m'dir. Kumtaşları iyi boylanmış ve yuvarlaklaşmış olup, paralel laminasyon, çapraz laminasyon ve sinsedimanter deformasyon yapıları içerir.

Gümüşsu (1984), *Assilina exponens* (Sowerby), *Assilina spira* (de Roissy), *Assilina aff. aspera* (Doncieux) fosillerine göre birime Lütesiyen yaşıını vermiştir. Bu çalışma sırasında derlenen örneklerdeki *Nummulites burdigalensis* (de la Harpe), *Nummulites gallensis* (Heim), *Nummulites globulus* Leymerie, *Nummulites laevigatus* (Bruguiere), *Nummulites lehneri* Schaub, *Nummulites millecaput* Boubee, *Nummulites striatus* (Bruguiere), *Acarinina pentacamerata* (Subbotina), *Acarinina primitiva* (Finlay), *Acarinina soldadoensis soldadoensis* (Brönnimann), *Morozovella aragonensis* (Nuttall), *Morozovella formosa formosa* (Bolli), *Globigerina inaequispira* Subbotina ve *Globigerina linaperta* Finlay fosillerine göre birime Erken-Orta Eosen yaşı verilmiştir.

Kayadüzü üyesi: İlk defa Koç (2002) tarafından üye mertebesinde incelenen birim Gümüşsu (1984) tarafından Eosen Volkanitleri olarak adlandırılmış ve haritalanmıştır. Birim Tersakan Dere'nin her iki yamacında da yüzeylemeler (bkz. Şekil 1a). İnceleme alanının batısında Küçükbelvar ve Kayadüzü Köyleri çevresinde geniş yüzeylemeler sunan bu üye Pliyosen çökelleri ile uyumsuzlukla örtülüdür. Gümüşsu 1984, birimin sondajlardan saptanın kalınlığının 30-150 m arasında değiştğini belirtmektedir. Birim; çamurtaşlı, kumtaşlı, volkaniklastik, aglomera, tüfit ve volkanik kayaç (andezit, bazalt, dasit) ardalanmasından oluşur. Birime, tabanındaki Tersakan Dere üyesi ile olan ilişkisine göre Orta Eosen yaşı verilmiştir.

FASIYESLER VE FASIYES TOPLULUKLARI

Fasiyesler ve Tanımları

Fasiyes kavramı; tabaka ya da tabaka gruplarının litoloji, geometri, sedimanter yapı, fosil içeriği, bileşim ve dokusal özelliklerine bağlı olarak ayrılan ve belirli hidrodinamik koşullar altında oluşmuş kayaç topluluklarını ifade eder. Fasiyes kavramı tek bir tabakadan çok, bir grup tabaka'yı ifade eder. Bu tanımlardan hareketle inceleme alanında dokuz fasiyes tanımlanmıştır (Çizelge 1).

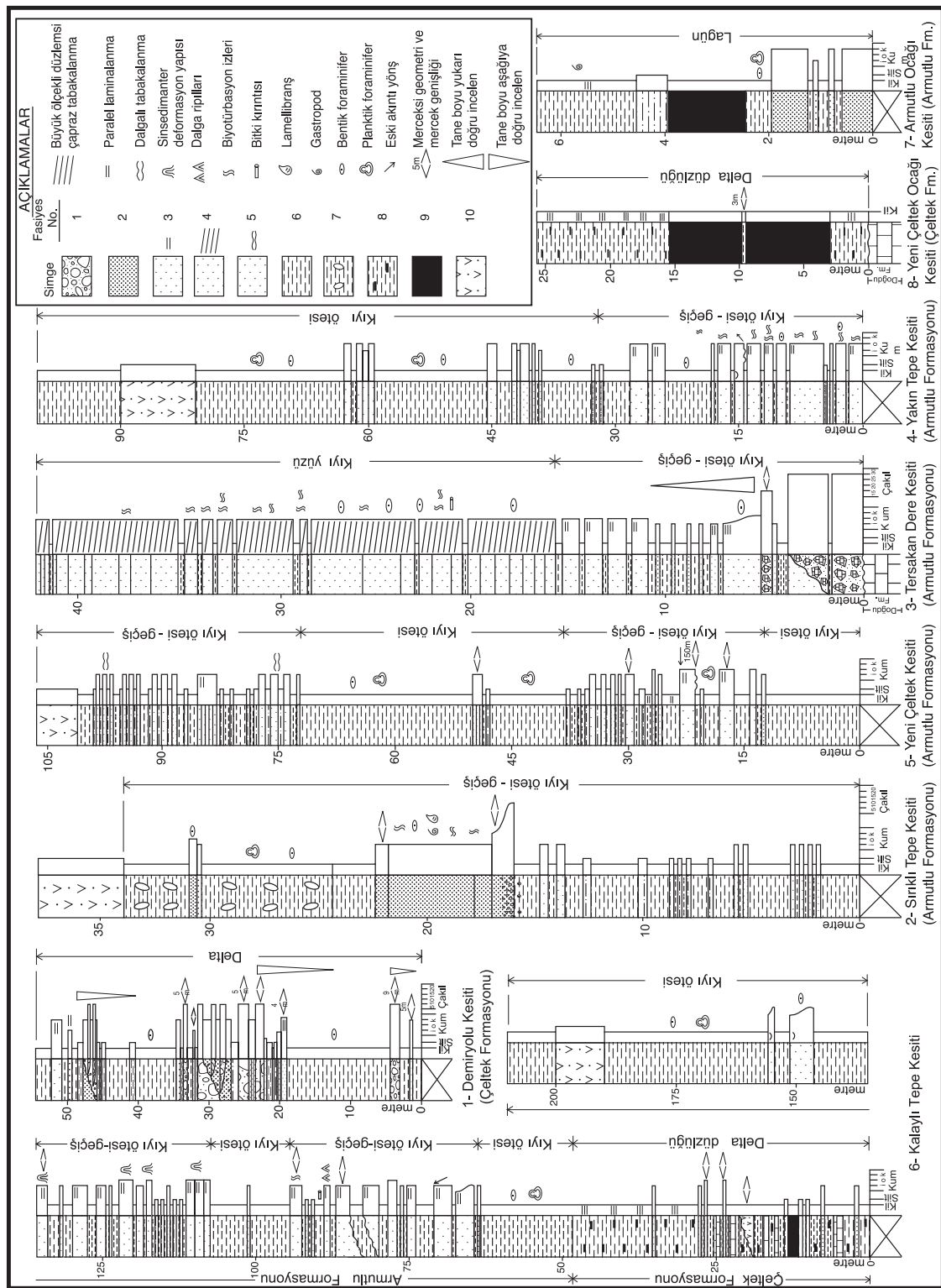
Fasiyes –1: Tabaklı konglomeralar

Bu fasiyes; genellikle andezit, bazalt, çört ve kireçtaşçı çakılları içeren, tane ve kum matriks destekli kalın tabaklı konglomeralardan oluşmakta ve Demiryolu ölçülu kesitinde Çeltek Formasyonu içerisinde gözlenmektedir (Şekil 3). Çakıllar iyi boylanmış ve orta derecede yuvarlaklaşmış olup, tane boyları 0.5 ile 5 cm arasında değişmektedir. Çakıllar kum matriks içerisinde gelişmiş güzel dizilmişlerdir. Konglomeralar gri-yeşil çamurtaşları içerisinde merceksi geometrili olarak bulunmaktadır. Bazı seviyelerde de tabaklı kumtaşlarını (F2) aşınmalı bir tabanla üzerlediği görülmektedir. Bileşenlerinin büyük çoğunluğu mermer ve çört parçaları oluşturmaktır, bunlar havzanın güney-güneydoğusunda yer alan Tokat Masifi'nden kaynaklanmıştır.

Yorum: Bu konglomeraların gerek dokusal özellikleri, gerekse merceksi geometrili olması, kanallar içerisindeki kuvvetli akıntıları ve yatak yükü taşımاسını karekterize eder (Simons vd., 1965; Rust, 1978). Bunların bentik foraminifer içeren gri-yeşil çamurtaşları ile yanal-düsey ilişkili olması ise, örgülü delta kanallarını işaret eder (Kazancı, 1988).

Fasiyes –2: Kalın tabaklı kumtaşları

Kalın tabaklı litarenitik bileşimli kumtaşları ile temsil edilen bu fasiyes, Çeltek Formasyonu içerisinde gözlenir (bkz. Şekil 3). Taneler iyi boylanmış ve orta derecede yuvarlaklaşmış olup genellikle zayıf karbonat cimento ile tutturulmuştur. Bu kumtaşları bol miktarda (%40-45) kayaç parçaları içermektedir. Bunlar volkanik ve metamorfik kayaç parçaları ile çörtlerden oluşmaktadır. Merceksi geometrili ve erozyon yüzeyleri



Sekil 3. Çeltek ve Armutlu formasyonlarına ait ölçüü kesitler (kesit yerleri için Sekil 1'a'ya bakınız).
Figure 3. The measured sections of the Çeltek and Armutlu formations (for the locations of the sections, see Figure 1a).

Çizelge 1. Fasiyelerin özellikleri ve fasiyes toplulukları içerisindeki dağılımı.
Table 1. Characteristics of facies and their distributions in the facies associations.

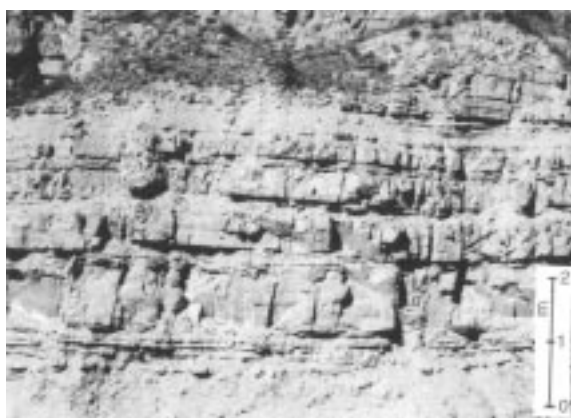
FASİYESLER	FASİYESLERİN ÖZELLİKLERİ	FASIYES TOPLULUKLARI			
		Deta düzgünü (FT1)	Deta onu (FT2)	Lagün (FT3)	Kiyi yüzü (FT4)
Kiyi ötesi (FT5)	Kiyi ötesi (FT6)				
Tabakalı konglomeralar (F1)	Tane boyları 0.5-5 cm arasında, bileşenleri kireçtaşlı ve çört çakılları oluşturur, kum matiksiz, iyi boyanmış ve orta derecede yuvartılmış, merkezi geometri, kalınlığı 0.5-2 m arasında değişir.	%10			
Kalın tabakalı kumtaşları (F2)	İri taneli, volkanik ve sedimentler kayaç parçaları içerir, bentik foraminiferli, iyi boyanmış ve orta derecede yuvartılmış, kalınlığı 0.5-4 m arasında değişir.	%10		%25	
Paralel laminalli kumtaşları (F3)	Ince-orta taneli, bileşenlerin çoğunluğunu kuvars oluşturur, karbonat çimenterolu iyi boyanmış ve yuvartılmış, sarı-bej renkli paralel laminalı, bentik foraminiferli, iz fosili, tabaka kalınlığı 0.5-2 m arasında değişir.	%10		%40	
Büyük ölçükelçi düşzl. çapr. tab. ktş. (F4)	Orta-ii taneli, bileşenlerinin çoğunluğunu kuvars oluşturur, seyreklilikten, karbonat çimenterolu, iyi boyanmış ve yuvartılmış, yoğun iz fosili, tabaka kalınlığı 0.4-2 m. arasında, fasiyesin kalınlığı 15 m.	%95			
Dalgalı tabakalı kumtaşları (F5)	Ince taneli, bileşenlerin çoğunluğunu kuvars oluşturur, karbonat çimenterolu, iyi yuvartılmış ve boyanmış, tabaka kalınlığı 3-20 cm, fasiyesin kalınlığı 0.5-3 m arasında değişir.			%10	
Gri-yeşil çamurtaşları (F6)	Yoğun bentik ve planktik foraminiferli, kalınlığı 40 m'ye kadar çıkar.	%90		%65	
Kırmızı çamurtaşları (F7)	Masif, diskoidal jips kristalli, bentik ve planktik foraminiferli, kalınlığı 11 m'dir.			%10	
Organik maddeli çamurtaşları (F8)	Masif, yoğun organik malzemeli, özsekisiz pirit kristallii, kayma kıvrımlı, kalınlığı 25 m'ye kadar çıkar.	%65			
Kömür (F9)	Linyit, kalınlığı 1.80 m ile 15 m arasında değişir.	%15		%10	

kapsayan fasiyesin kalınlığı 1-4 m arasında değişmektedir. Demiryolu kesitinde gözlenen fasiyes masif konglomera (F1) ile yanal-düsey ilişkili olup tabanında bentik foraminiferli gri-yeşil çamurtaşlarını (F6) üzerler (bkz. Şekil 3).

Yorum: Erozyonal taban merceksi geometri ve iri tane boyu kanallar içerisindeki kuvvetli akıntıları ve yatak yükü taşımalarını işaret eder (Simons vd., 1965; Miall, 1977; Rust 1978).

Fasiyes –3 : Paralel laminalı kumtaşları

Paralel laminalı kumtaşları ile temsil edilen bu fasiyes, sarı, bej renkli ve iyi boyanmalıdır. Genellikle geniş yanal yayılım sunan bu fasiyes, gri-yeşil çamurtaşları (F6) ve kırmızı çamurtaşları (F7) ile ardalanmalıdır (Şekil 4). Karbonat cimento ile tutturulmuş olan bu kumtaşı bileşenlerinin çoğunluğunu kuvarslar oluşturmaktadır. Bu kumtaşlarında genellikle paralel, yer yer de çapraz laminasyon gözlenir. Kumtaşı tabakalarının üst seviyelerinde yer yer dalga ripilleri ve yer yer de küçük ölçekli teknesi çapraz laminalar bulunmaktadır. Fasiyesin kalınlığı 0.5 m ile 2 m arasında değişmekte olup, ortalama kalınlık 1-1.5 m kadardır. Seyrek bentik foraminifer ve sedimantasyonla eş yaşı deformasyon yapıları (konvolüt laminasyon) içermektedir (Şekil 5). Tabaka alt yüzeylerinde yer yer kaval yapıları ve oluk izleri görülür. Ayrıca düsey ve yatay konumlu biyojenik oygu yapıları (burrows) da gözlenmektedir. Fasiyes Sırıklı Tepe kesitinde kır-



Şekil 4. Paralel laminalı kumtaşı (Fasiyes-3) ve gri-yeşil çamurtaşları (Fasiyes-6) ardalanması.

Figure 4. Alternation of paralel laminated sandstone (Facies-3) and grey-green mudstone (Facies-6).



Şekil 5. Paralel laminalı kumtaşları (üst düzeylerinde sindsedimanter deformasyon yapıları gelişmiştir).

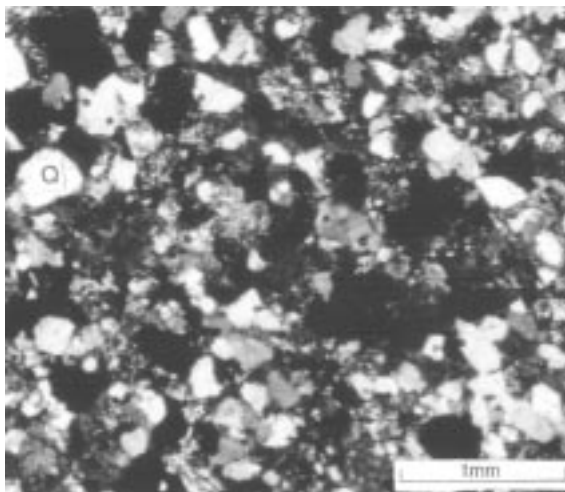
Figure 5. Paralel laminated sandstones (synsedimentary deformation structures have been developed in the upper part of the sandstone).

mizi çamurtaşları (F7) ile ardalanmalı olup, yoğun olarak *Nummulites* sp., *Discocyclina* sp ve *Miliolidae* familyasından fosiller içerir. Ayrıca gastropod ve bivalvia fosilleri de gözlenmektedir. Armutlu Formasyonu içerisinde gözlenen bu kumtaşları, genellikle düzgün taban ve tavan yüzeylerine sahiptir. Tersakan Dere, Yakın Tepe ve Yeni Çeltek ölçüülü kesitlerinde istifin alt seviyelerinde, Kalaylı Tepe ölçüülü kesitinde ise stratigrafik istifin alt-orta seviyelerinde yer almaktadır (bkz. Şekil 3).

Yorum: Paralel laminasyon gösteren benzer kumtaşları yüksek dalga enerjisi ile ilgili çökeller veya fırtına çökelleri olarak yorumlanır (Snedden ve Nummedal, 1991). Fasiyesin gri-yeşil çamurtaşları ile ardalanmalı olması, ortamın zaman zaman yüksek enerjili (fırtınalı), zaman zaman da düşük enerjili olduğunu ve konvolüt laminasyon ise hızlı çökelmeyi işaret etmektedir (Percival, 1989).

Fasiyes –4 : Büyük ölçekli düzlemsel çapraz tabakalı kumtaşları

Büyük ölçekli düzlemsel çapraz tabakalı kumtaşları ile karakterize edilen bu fasiyes Armutlu Formasyonu'nda gözlenir. Kumtaşı bileşenlerinin büyük çoğunluğunu oluşturan kuvars taneLERİ iyi boyanmış ve yuvarlaklaşmış olup, karbonat cimento ile tutturulmuştur (Şekil 6). Yer yer



Şekil 6. Kuvarsça zengin kumtaşlarının (Fasiyes-4) mikrofotoğrafları, Q: Kuvars, (çapraz nikol).

Figure 6. Microphotographs of the quartz rich sandstones , Q: Quartz, (cross-polars) (Facies-4).

laminasyon içeren tabakaların kalınlığı 40 cm ile 2 m arasında değişmektedir. Tabaka düzlemleri dikkat çekici bir şekilde havzanın kuzeyine ince taneli fasiyelerin yoğunlaştığı alanlara doğru eğimlidir. Kalınlığı 15 m'ye kadar çıkan fasiyes, seyrek bentik foraminifer ve bitki kıritisi içermektedir. Tabakaları düşey ve yatay yönde kesen oyuklar gözlenmektedir. Tersakan Dere ölçülu kesitinin orta-üst seviyelerinde gözlenen bu fasiyes, seyrek olarak, gri çamurtaş (F6) ara seviyeleri içerir (bkz. Şekil 3).

Yorum: Benzer karakterli kuvarsça zengin kumtaşları çalkantı zonunda çalkantı ve geri yıkanmaya bağlı olarak oluşmaktadır (Clifton, 1981). Havzanın kuzeyine ince taneli fasiyelerin yoğunlaştığı alanlara doğru eğimli olan tabakalar sığ deniz kum dalgalarına bağlı olarak gelişmiş olmalıdır. Kara yönünde gelişen şiddetli fırtınalar sırasında sahilin üst bölümünden (örneğin kıyı önü ve üst kıyı yüzü) çok fazla miktarda aşınan kum, süspansiyon yüklü türbülanslı akıntılarla taşınarak alt kıyı yüzü bölgesinde tabakalı/laminalı olarak çökeltılır (Reineck ve Singh, 1972, 1973).

Fasiyes -5 Dalgalı tabakalı kumtaşları

Dalgalı tabakalı kuvarsça zengin kumtaşları ile temsil edilen bu fasiyes Armutlu Formasyonu'nda gözlenir. Kumtaşları ince taneli ve karbonat cimentolu olup kuvarsca zengindir. Tabaka kalınlığı 3-20 cm arasında, fasiyesin kalınlığı

ise 0,5-3 m arasında değişmektedir. Bitki kıritıları ve seyrek bentik foraminifer içerir. Gri-yeşil çamurtaşları ile ardalanmalı bir şekilde gözlenen bu fasiyes tabanındaki çamurtaşlarını çögünlükla düzgün ve yer yer de aşınmalı tabanlı olarak üzerlemektedir. Fasiyes, Yeni Çeltek ölçülu kesitinin üst düzeylerinde silttaşları ile ardalanmalı olup geniş yanal yayılıma sahiptir (bkz. Şekil 3).

Yorum: Dalgalı tabakalı kuvarsça zengin kumtaşları normal dalga tabanı ile fırtına dalga tabanı arasında oluşmaktadır (Johnson, 1978; Walker, 1979).

Fasiyes -6 : Gri-yeşil çamurtaşları

Bu fasiyes, planktik ve bentik foraminifer içeren gri-yeşil masif çamurtaşlarından oluşur. Geniş yanal yayılımlı olan bu çamurtaşlarının Kalaylı Tepe, Armutlu ocağı, Yakın Tepe, Yeni Çeltek ve Demiryolu kesitlerinde Çeltek ve Armutlu formasyonlarında ölçülen en fazla kalınlığı 30-40 m'ye kadar ulaşmaktadır. Bu kesitlerde ince-orta taneli kumtaşı ve silttaşı ara seviyeleri yeralır. Sırıklı Tepe ölçülu kesitinde gri çamurtaşlarının üst seviyesinde 10 cm çapında kum topları gözlenmektedir. Yine Kalaylı Tepe ve Yakın Tepe ölçülu kesitlerinde paralel laminalı kumtaşları (F3) ile ardalanmalı olarak gözlenmektedir (bkz. Şekil 4). Bu fasiyes, Yakın Tepe ölçülu kesitinde hakim litolojiyi oluşturmaktadır. Bazı düzeylerde konkoidal (midye kabuğu) kırılımlı olarak gözlenen fasiyes, yoğun olarak *Acarinina* sp., *Morozovella* sp., *Globigerina* sp. ve *Nummulites* sp. gibi planktik ve bentik foraminifer içerir. Ayrıca Armutlu ocağı ölçülu kesitinde istifin üst seviyelerinde *Bayania stygii* (Brongniart), *Burtinella spirulaea* (Lamark) gibi gastropod ve yeşil alg (charophytes) fosilleri bulunmaktadır.

Yorum: Planktik ve bentik foraminifer içeren benzer karakterli çamurtaşları sakin sulardaki askı yüklerinin çökelmesi sonucu oluşur (Boreen ve James, 1995). Ancak, fasiyes içerisinde gözlenen ince taneli kumtaşı tabakaları ise fırtınalarla ilişkili olup, ıraksak fırtına tabakaları olarak yorumlanır (Brenchley vd., 1993; Midgaard, 1996).

Fasiyes -7 : Kırmızı çamurtaşları

Pembemsi-kırmızı çamurtaşları ile karakterize edilen bu fasiyes, Armutlu Formasyonu içerisinde

de gözlenir ve bol miktarda diskoidal jips kristalleri içerir. Fasiyesin Sırıkçı Tepe kesitinde ölçülen kalınlığı 11 m'dir. İçerisinde orta-ince taneli bentik foraminiferli kumtaşı (F2) seviyeleri gözlemlenmektedir. Bu çamurtaşları *Nodosaria* sp., *Frondicularia* spp., *Cribrolenticulina* sp., *Lenticulina* spp., *Hemirobulina* sp., *Pseudobolivina* sp., *Globorotalia* sp. *Globigerina* sp., *Daviesina* spp. ve *Operculina* sp. gibi bentik ve planktik foraminiferler içerir. Fasiyesin tabanında kalın tabakalı litarenitik bileşimli kumtaşları (F2) yer almaktan, üst düzeylerinde ise volkaniklastikler bulunur.

Yorum: Sedimanter kayaçlardaki kırmızı renk hematit mineralleri ile ilişkili olarak gelişir (Van Houten, 1973). Hematitlerin kaynağını ise lateritik topraklar veya demir içeren kırıntılı taneler oluşturur (Turner, 1980 ; Pye, 1983). Diskoidal jips kristalleri ise kıyı alanlarında diyajenezin erken safhalarında gelişir (Kinsman, 1966).

Fasiyes -8 : Organik maddeli gri-boz çamurtaşları

Gri-boz renkli bol organik maddeli çamurtaşlarından oluşan bu fasiyes, Çeltek Formasyonu içerisinde gözlenir ve bazı seviyelerde laminalli, bazı seviyelerde ise masif özellik sunar. Laminalli seviyeler kahverengi ayrışma düzeylerini içermektedir. Fasiyesin kalınlığı 25 m'ye kadar ulaşır ve Yeni Çeltek ocağı kesitinde kömür damarının alt ve üst seviyelerinde yer almaktadır. Bu çamurtaşları içerisinde özsekilsiz pirit kristalleri bulunmaktadır. Eski Çeltek açık işletmesinde kömür araseviyeleri içeren bu çamurtaşlarında kayma-oturma yapıları görülür (Şekil 7). Fasiyes-8 Kalaylı Tepe ölçülü kesitinde silttaşlı, ince taneli kumtaşı ve yaklaşık 2 m kalınlığında kömür damarı içeren bitümlü şeyllerle karakterize edilir (bkz. Şekil 3). Çamurtaşları içerisinde sarı renkli mikritik kireçtaşları düzeyleri yer almaktadır. Bu kireçtaşları yeşil alg (charophytes) fosilleri içerir (Şekil 8).

Yorum: Fasiyesin ince tane boyuna sahip malzeme içermesi ve akıntı kökenli yapıların yokluğu durgun sularda süspansiyondan yavaşça çökeldiğine işaret eder. Laminasyonların organik madde içermesi ve karbonat içeriği ile biyoturbasyonun yokluğu oksijensiz (anoxic) su tabanının göstergeleridir (Yemane vd., 1989 ; Anadon vd., 1991). Ayrıca, bu fasiyes içerisinde gözle-



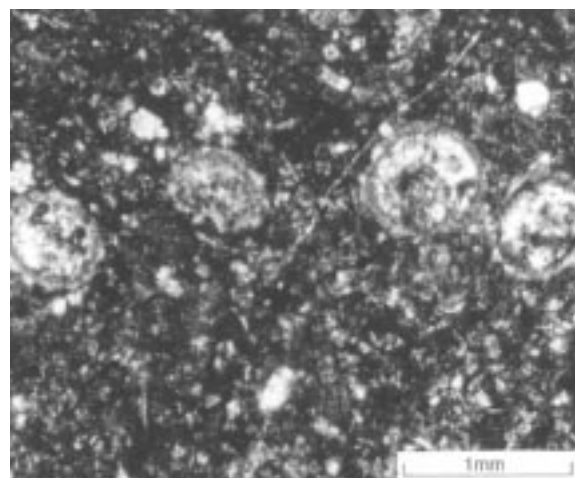
Şekil 7. Kayma-akma yapıları içeren organik madde- li gri çamurtaşları (Fasiyes-8) – kömür (Fasiyes-9) – kireçtaşları.

Figure 7. Grey mudstone with organic material (Facies-8) – coal (Facies-9) – limestones.

nen özsekilsiz pirit kristalleri de bu yorumu desteklemektedir. Organik madde bakımından zengin bu tortullar, kırıntılı malzeme geliminin az olduğu bataklık veya kıyı ovaları ile ilişkili sıç su çökelleri olmalıdır (Besly ve Collinson, 1991).

Fasiyes - 9 : Kömür

Bu fasiyes; Kalaylı Tepe, Armutlu ve Yeni Çeltek ocağı ölçülü kesitlerinde Çeltek ve Armutlu formasyonlarında gözlenmektedir. Kalaylı Tepe ölçülü kesitinde 1.80 m, Armutlu ocağında 1.20-



Şekil 8. Kireçtaşları (Şekil 7) içindeki charophytes fosilleri.

Figure 8. Charophytes fossils in the limestones (Facies-7).

1.50 m kalınlığa sahiptir. Fasiyesin kalınlığı Yeni Çeltek ocağında ise 1-15 m arasında değişmekte olup, ortalama 8-10 m kadardır. Kömür sert, parlak ve koyu siyah renklidir. Fasiyes Kalaylı Tepe kesitinde, alt seviyesinde gri-boz maddeli çamurtaşları (F8), üstte ise siltaşı, kireçtaşları ve çamurtaşları ardalanması ile geçişlidir. Armutlu ocağı ölçüülü kesitindeki kömür damarı, iri taneli çakılı kumtaşı ve siltaşı ara seviyeleri içeren gri-yeşil çamurtaşları (F6) içerisinde yer almaktadır. Yeni Çeltek ocağı kesitinde kömürün alt ve üst seviyesinde bol organik maddeli ve laminalı çamurtaşları (bitümlü şeyl) (F8) yer almaktadır.

Yorum: İşletilen kömür damarlarının tabanında kökçükler yer almamakta olup, bunlar yarı allokton veya allokton kökenlidir (Parnell vd., 1989). Armutlu ölçüülü kesitinde gözlenen damarların denizel fosil içeren çamurtaşları ile ardalanmalı olması da, bunların lagünlere çevreden taşınan bitkisel materyalin depolanması ile oluştuğunu gösterir. Çeltek Formasyonu'ndaki damarların bulunduğu istifin diğer fasiyelerle olan ilişkisi ise, bu damarların delta düzlüğü ile ilişkili göl (ponded water) ve bataklıklarda çökeldiğine işaret eder. Karayıgit vd. (1996), Çeltek Formasyonu'na ait kömürlerin petrografik özelliklerini inceleyerek bunların göl ortamında olduğunu belirtmişlerdir.

Fasiyes Topluluklarının Tanımı ve Yorumu

Fasiyes topluluğu, belli bir depolanma ortamında birden fazla fasiyesin biraraya gelmesiyle oluşur. Fasiyes topluluklarının düzenlenmesinde çökelme koşulları esas alınır. Kural olarak, tek bir fasiyes sadece ilgili depolanma mekanizmasını yansıtırken, fasiyes toplulukları zaman ve mekan içinde depolanma ortamındaki farklılıklarını ve bu ortamda etkili olan değişik sedimantasyon süreçleri ifade eder. Bu nedenle, ortam yorumlamada fasiyes topluluklarının en değerli elemanlar oldukları kabul edilir (Mutti ve Ricci-Lucchi, 1972). Bu özellikler gözönünde bulundurularak aşağıda tanımlanan fasiyes topluluklarının ikisi (ÇFT1 ve ÇFT2) Çeltek Formasyonu, diğer dördüde (AFT1-AFT4) Armutlu Formasyonu olarak haritalanan tortulları kapsamaktadır.

ÇFT-1 : Delta düzluğu (delta plain) fasiyes topluluğu

Bu topluluk, Yeni Çeltek ocağı ölçüülü kesitinde gri-boz renkli organik maddeli çamurtaşları (F8) ve

kömürlerle (F9), Kalaylı Tepe ölçüülü kesitinde ise, merkeksi geometrili kumtaşı ve mikritik kireçtaşları ara seviyeleri içeren organik maddeli gri-boz renkli çamurtaşları (F8) ve kömürlerden (F9) oluşur (bkz. Şekil 3). Söz konusu merkeksi geometrili kireçtaşları bol bitki kırıntıları ve yeşil alg (charophytes) fosilleri içerir. Topluluk, Eski Çeltek kömür işletmelerine ait yüzeylemelerde kayma-oturma yapıları içeren bol organik maddeli çamurtaşları (F8) ile temsil edilir. Buradaki organik maddeli ince taneli fasiyeler yanal ve düşey yönde konglomera mercekleri içeren kumtaşlarına geçer (bkz. Şekil 3). Topluluğun kalınlığı Kalaylı Tepe ölçüülü kesitinde 49 m, Yeni Çeltek ocağı ölçüülü kesitinde ise, yaklaşık 25 m olarak ölçülmüştür. Kalaylı Tepe ölçüülü kesitinde bu topluluğun üzerine transgresif olarak Armutlu Formasyonuna ait sıg deniz çökelleri gelir.

Yorum: Topluluk içerisinde yer alan bol organik maddeli gri-boz çamurtaşları ve kömür ardalanmasından oluşan benzer istifler, kıyı ovası veya bataklık çökellerini karakterize eder (Besly ve Collinson, 1991). Kalaylı Tepe ölçüülü kesitindeki söz konusu çamurtaşları içerisinde charophytes fosilleri içeren merkeksi geometrili kireçtaşları ise bataklık alanlardaki gölcükler (pond) ait tortullar olmalıdır (Sagri vd., 1989). Yine bu çamurtaşlarında yer alan merkeksi geometrili ince taneli kumtaşları ise, söz konusu bataklık ve gölcükleri besleyen tali kanalcıkları (crevasse channels) temsil eder (Belt vd., 1984 ; McCabe, 1984). Denizel fasiyelerle yanal ilişkili olan bu topluluğa ait bataklık-kıyı ovası, gölcük (pond) ve tali kanal alt fasiyes birliği bunların delta düzlüğü alanlarında geliştiğine işaret eder (Reineck ve Singh, 1973 ; Reading ve Collinson, 1996). İstif içerisindeki kayma-oturma yapıları havza tabanının sismik bakımdan aktif olduğu göstermektedir (Rossetti, 1999). Bu ince taneli fasiyelerin yanal devamını oluşturan Demiryolu ölçüülü kesitindeki konglomera mercekleri içeren kumtaşları ise, düşük sıvıslu kanal sistemleri ile ilişkili olarak gelişmiş olmalıdır.

ÇFT-2 : Delta önü (delta front) fasiyes topluluğu

Bu topluluk Demiryolu ölçüülü kesitinde tane boyu üste doğru kabalaşan devreli ardalanmalı istifler içerisinde yer almaktadır (bkz. Şekil 3). Kalınlığı 20-30 m arasında değişen bu ardalanmalı istifin alt orta düzeylerini paralel laminalı kumtaşları (F3)

İçeren bentik foraminiferli gri-yeşil çamurtaşları (F6), üst düzeylerini ise merceksi geometrili iyi olgunlaşmış konglomera (F1) ve kumtaşları (F2) oluşturur. Ancak buradaki kaba taneli tortulların büyük çoğunluğunu kumtaşları (F2) oluşturmaktadır. Konglomeralar (F1) çoğunlukla kumtaşlarının tabanında merceksi geometrili konumda bulunmaktadır. Söz konusu ölçülu kesitin tamamını oluşturan bu topluluk, havzanın güneyine doğru delta düzlüğü çökellerine geçerken, kuzey-kuzey batıya doğru Armutlu Formasyonuna ait kıyı ötesi-geçiş fasiyesi ile geçerlidir.

Yorum: Tane boyu üste doğru kabalaşan istifleerin üst düzeylerini oluşturan iyi olgunlaşmış merceksi geometrili konglomera ve kumtaşları kanal çökellerini karakterize etmekte, alt düzeyleri oluşturan bentik foraminiferli gri-yeşil çamurtaşları (F6) ise kanallar arası koyları oluşturmaktadır (Coleman ve Gagliano, 1964 ; Reineck ve Singh, 1973). Topluluğu oluşturan çevrimsel depolanma, mevcut kanalların tıkanıp yenilerinin açılması sonucu birbirini üzerleyen delta loblarının göstergesidir. Buradaki kaba taneli çökeller ise delta önü tortullarını üzerleyen örgülü delta düzlüğü fasiyelerini karakterize eder (Kazancı, 1988).

AFT-1 : Lagün fasiyes topluluğu

Bu topluluk Armutlu ocağı ölçülu kesitinde *Nodosaria* sp., *Globigerina* sp. gibi bentik ve planktonik foraminifer, *Bayania stygii* (Brongniart), *Burinella spirulaea* (Lamark) gibi gastropod fosilleri içeren gri-yeşil çamurtaşları (F6), kömür (F9), ve kumtaşlarının ardalanmasından oluşur. Armutlu ocağı ölçülu kesitin tamamını oluşturan bu topluluğun kalınlığı 6 m olarak ölçülmüştür. Armutlu ocağı ölçülu kesitinde, kömür ve kumtaşı araseviyeleri içeren gri-yeşil çamurtaşlarının oluşturduğu topluluk sınırlı yanal yayılıma sahip olup kuzeydoğu ve güneybatı yönünde temeli oluşturan Doğu Formasyonu ile sınırlanır.

Yorum: Armutlu ocağı ölçülu kesitinde kömür damarı içeren denizel fosilli (*Bayania stygii* (Brongniart), *Burinella spirulaea* (Lamark)) gri çamurtaşları ve kumtaşı ara seviyeleri ise, kıyı alanlarına yakın bölgeleri işaret eder. İnceleme alanında sınırlı yanal yayılıma sahip olan bu istifin gerek fasiyes özellikleri, gerekse temeli oluşturan Doğu Formasyonu ile ilişkisi bunların açık denizle sınırlı bağlantılı alanlarda, bir baş-

ka ifade ile lagünde çökeldiğini gösterir. Burada ki benzer ilişkili kumtaşları lagünü besleyen akarsu tortulları olmalıdır (Plint, 1988; Devine, 1991). Kumtaşlarındaki volkanik ve metamorfik kökenli kayaç parçalarının baskın olması, bunların havzanın güney ve güneydoğusundaki Tokat Masifi'nden kaynaklandığını, diğer bir ifadeyle taşınmanın güney-güneydoğudan kuzeye doğru olduğunun göstergesidir.

AFT-2 : Kıyı yüzü (shoreface) fasiyes topluluğu

Bu topluluk, gri-yeşil çamurtaşçı (F6) araseviyeleri içeren büyük ölçekli çapraz tabakalı kuvarsca zengin kumtaşları (F4) ile temsil edilmektedir (Şekil 9). Söz konusu kumtaşları yoğun biyojenik oygu yapıları (burrows) ve seyrek bentik foraminifer içermektedir. Topluluk, Tersakan Dere ölü-



Şekil 9. (a) Paralel laminalli kumtaşı (Fasiye-3) ve gri çamurtaşçı (Fasiye-6) ardalanmasının oluşturduğu kıyı ötesi-geçiş fasiyes topluluğu ve (b) Büyük ölçekli düzlemsi çapraz tabakalı kumtaşları ile karakterize edilen kıyı boyu barları.

Figure 9. (a) Offshore facies association consisting of parallel laminated sandstones (Facies-3) and grey mudstone (Facies-6), and (b) nearshore bars characterized by large scale planar cross-bedded sandstones.

çülü kesitinde istifin orta-üst seviyelerinde gözlenmekte olup, 15-20 m arasında değişen bir kalınlığa sahiptir (bkz. Şekil 3). Kesitin yaklaşık üçte ikisini oluşturur. Bu topluluk, Tersakan Dere ölçülü kesitinin alt seviyesinde kıyı ötesi-geçiş (offshore-transition) fasiyes topluluğu ile düşey ilişkilidir.

Yorum: Yoğun biyojenik oygu yapıları içeren, büyük ölçekli çapraz tabakalı ve kuvarsca zengin kumtaşları kıyı yüzü (shoreface) alanlarında yeralan kıyı boyu barlarını karakterize eder (Reineck ve Singh, 1973; Johnson, 1978). Çapraz tabakaların planktik foraminiferli çamurtaşlarının baskın olduğu derin alanlara doğru eğimli olması, barların deniz yönünde ilerlediğini, bir başka ifade ile regresif set adasını işaret eder (Johnson, 1978; Percival, 1989).

AFT-3 : Kıyı ötesi-geçiş (offshore-transition) bölgesi fasiyes topluluğu

Bu fasiyes topluluğu, paralel laminalı kumtaşları (F3), dalgalı tabakalı kumtaşları (F5), gri-yeşil çamurtaşları (F6) ve kırmızı çamurtaşlarından (F7) oluşmakta olup (bkz. Şekil 3) kalınlığı 20-60 m arasında değişir. Deformasyon yapıları içeren paralel laminalı kumtaşları, gri-yeşil çamurtaşları içerisinde yer yer merceksi geometrili ve yer yer de geniş yanal yayılmıştır. Yakın Tepe ölçülü kesitinde topluluğun yaklaşık %60'ını paralel laminalı kuvarsca zengin kumtaşları, %40'ını ise gri-yeşil çamurtaşları oluşturmaktadır. Sıraklı Tepe ölçülü kesitinde ise kalın tabakalı kumtaşları (F2), gri-yeşil çamurtaşı (F6) ve bentik ve planktik foraminifer içeren kırmızı çamurtaşlarından (F7) oluşur (bkz. Şekil 3). Yakın Tepe ölçülü kesitinde topluluk, üst seviyelerinde kıyı ötesi fasiyes topluluğu ile düşey ilişkili iken, Tersakan Dere kesitinde üst seviyelerinde kıyı yüzü fasiyesi ile geçişlidir (bkz. Şekil 9). Tersakan Dere kesitin tabanında yeralan konglomeralar içerisinde boyları 3-30 cm arasında değişen kireçtaşçı çakılları yer almaktır, bu çakıllar istifin tabanındaki Doğu Formasyonu'ndan türemiştir. Kalaklı Tepe ölçülü kesitinde topluluğun %45'ini F3, %55'ini ise F6 oluşturmaktadır, topluluk tavannında kıyı ötesi fasiyes topluluğu ile geçişlidir. Bir başka ifade ile ölçülü kesitlerin tamamında F3'ün F6'ya oranı hemen hemen eşittir.

Yorum: Paralel laminalı kumtaşları ve bunlarla ardalanmalı gri-yeşil çamurtaşları dış şelf sisteme-

mini karakterize eder (Harris ve Eriksson, 1990). Boreen ve James (1995), Victoria'da (Avustralya) Tersiyer birimlerindeki benzer fasiyesleri derin şelf çökelleri olarak yorumlamıştır. Eşit oranda paralel laminalı kumtaşı ve planktik foraminiferli gri çamurtaşı içeren benzer fasiyesler, kıyı kumu ile şelf çamuru arasındaki geçiş çökellerini karakterize eder (Reading ve Collinson, 1996). Geçiş zonu sedimanlarının üst sınırı normal dalga tabanının altında yer almaktır, asıl sedimanlarını kil, silt, killi silt, siltli kum ve kumlar oluşturmaktadır (Reineck ve Singh, 1973). Ancak Sıraklı Tepe ölçülü kesinin üst düzeylerinde görülen planktik foraminiferli ve diskoidal jips kristalleri içeren kırmızı çamurtaşları ise, zaman zaman denizin hızlıca sığlaşmasına işaret eder. Tersakan Dere ölçülü kesitinde istifin tabanında yeralan konglomeralar yeniden işlenmiş tortullar olup transgresif gecikme çökelleri olarak yorumlanabilir (Clifton, 1981; Johnson ve Levell, 1995).

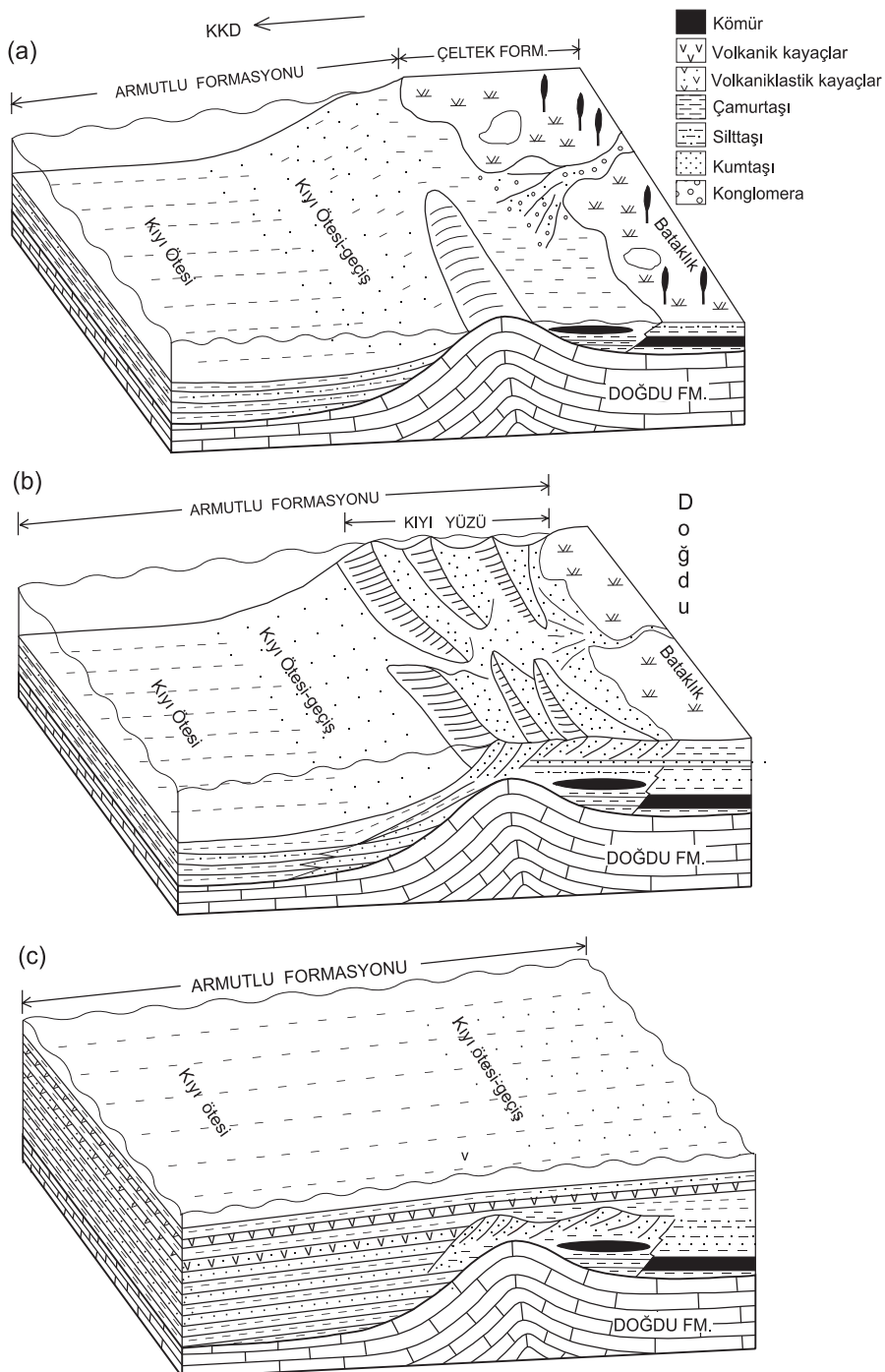
AFT-4 : Kıyı ötesi (offshore) fasiyes topluluğu

Gri-yeşil çamurtaşlarından (F6) oluşan bu topluluk, Kalaklı Tepe ölçülü kesitinin üst, Yakın Tepe ölçülü kesitinin orta-üst ve Yeni Çeltek ölçülü kesitinin ise orta seviyelerinde yer almaktadır. Topluluğun kalınlığı 12 ile 40 m arasında değişmektedir. Kalaklı Tepe ve Yeni Çeltek ölçülü kesitlerinde Armutlu Formasyonu'nun taban seviyelerini oluştururlar. Topluluğa ait gri-yeşil çamurtaşları içerisinde düşük oranda paralel laminalı ince taneli kumtaşları (F3) ve silttaşları yer almaktadır. Bu topluluk, Kalaklı Tepe ölçülü kesitinde kıyı ötesi-geçiş bölgesi fasiyes topluluğu olarak yorumlanan paralel laminalı kumtaşı-gri çamurtaşları ile ardalanmalı olarak görülür.

Yorum: Bentik foraminiferli çamurtaşları normal dalga tabanı altında çökelmiş olmalıdır. Yukarıda belirtilen diğer fasiyes toplulukları ile olan ilişkisi de bunların kıyı ötesi (offshore) alanlarda çökeldiğine işaret etmektedir. (Reineck ve Singh, 1973; Johnson ve Baldwin, 1996).

TARTIŞMA VE SONUÇLAR

İnceleme alanının en yaşlı birimini oluşturan Doğu Formasyonu (Santoniyen-Kampaniyen) masif kireçtaşları ile temsil edilmekte ve yerel yüzeylemeler sunmaktadır (bkz. Şekil 1a). Bir-



Şekil 10. Çeltek ve Armutlu formasyonlarının şematik çökelleme modelleri (ölçeksiz).
Figure 10. Schematic depositional models of the Çeltek and Armutlu formations (not-to-scale).

çok araştırmada, bu yüzeylemelerle Eosen çökelleri arasındaki stratigrafik ilişkinin yer yer faylı olduğu vurgulanmıştır (Özdemir ve Pekmezci, 1983; Gümüşsu 1984). Bu çalışma sırasında yapılan incelemelerde Doğu Formasyonuna

ait kireçtaşları yüzeylemelerinin Eosen paleocoğrafyasının gelişimini denetleyen topografik yükseltiler olduğunu göstermiştir. Bu yükseltilere bağlı olarak, havzanın güneyinde yaklaşık KB-GD doğrultusunda yayılım sunan (Eski Çel-

tek-Yeni Çeltek yöreleri boyunca) bir lagün oluşmuştur (Şekil 10a). Bu lagünle ilişkili olarak Çeltek Formasyonu'nun delta düzlüğüne ait bataklık, gölcük ve kanal çökelleri gelişmiştir. Buradaki delta düzlüğü tortulları havzanın kuzeyine doğru Armutlu Formasyonu'nun tabanını oluşturan lagün çökelleri ile yanal-düsey geçişlidir. İlerleyen dönemlerde gelişen transgresyona bağlı olarak, denizel tortulların Doğu Formasyonu'na ait kireçtaşlarını kademeli olarak üzerlediği görülür. Zamanla, temeli oluşturan kireçtaşları tamamen sular altında kalmış ve kıyı boyu kum barları gelişmiştir (Şekil 10b). Ancak bu sırada su seviyesinin sürekli değiştiği, kıyı ötesi ve kıyı ötesi-geçiş fasiyeslerinin ardalanmasından anlaşılmaktadır. İlerleyen dönemlerde bölgedeki volkanik faaliyetlerin de etkisiyle Kayaüstü üyesini oluşturan volkaniklastikler ve volkanik kayaçlarla ardalanmalı gri-yeşil çamurtaşları çökelmiştir (Şekil 10c). Atalay (2001), Yeni Çeltek kesitinin ölçüldüğü yüzeylemelerde (bkz. Şekil 1a, 3) yaptığı incelemelerde, bu istifin Çeltek Formasyonu'na ait olduğunu ve menderesli nehirlerde çöklediğini belirtmişlerdir. Bu çalışma kapsamında yapılan araştırmalarda ise, yoğun bentik ve planktik foraminifer içeren istifin kıyı ötesi ve kıyı ötesi-geçiş alanlarında çökediğini göstermiştir. Akgün (2002) Çeltek ve Armutlu formasyonları içerisinde yer alan kömürleri palinolojik incelemeleri sonucu, Eski Çeltek ve Yeni Çeltek kömür işletmelerine ait damarların göl veya taşkın düzlikleri ile ilişkili bataklıklarda, Armutlu kömür işletmelerine ait damarların ise denizel kıyı ortamında gelişliğini belirtir. Bu çalışmada elde edilen veriler; Çeltek kömür damarlarının delta düzüğündeki göl ve bataklıklarda, Armutlu kömür damarının ise lagünde olduğunu göstermektedir. Ayrıca Çeltek Formasyonu ile Armutlu Formasyonu arasındaki stratigrafik ilişkinin bazı çalışmalarda uyumlu (Özdemir ve Pekmezci, 1983; Akgün, 2000; Atalay, 2001), bazı çalışmalarda (Gümüşsu 1984) ise uyumsuz olduğu belirtilmektedir. Bu araştırmadaki bulgular, Çeltek Formasyonu'nun üst seviyelerinin Armutlu Formasyonu ile yanal-düsey geçişli olduğunu, bir başka ifade ile iki birim arasında uyumlu bir ilişkinin varlığını göstermiştir.

KATKI BELİRTME

Bu çalışma, birinci yazarın yüksek lisans tezi kapsamında Fırat Üniversitesi Araştırma Fonu tarafından FÜNAF-433 nolu proje ile desteklenmiştir. Ayrıca birinci yazara yüksek lisans çalış-

ması sırasında TÜBİTAK Destek ve Teşvikler Dairesi Başkanlığı tarafından burs verilmiştir. Bentik ve planktik foraminiferlerin determinasyonları Prof.Dr. İzver ÖZKAR (İstanbul Üniversitesi), Prof. Dr. Niyazi AVŞAR (Çukurova Üniversitesi) ve Y.Doç.Dr. Meral KAYA (Fırat Üniversitesi) tarafından yapılmıştır. Yazarlar ilgili kurum yetkilileri ile paleontolojik incelemeleri yapan öğretim üyelerine, yapıçı eleştirileri ile makalenin son şeklini kazanmasını sağlayan Prof.Dr. Nizamettin KAZANCI (Gebze Yüksek Teknoloji Enstitüsü), Prof.Dr. Uğur İNCİ (Dokuz Eylül Üniversitesi), Doç.Dr. Cemil YILMAZ (Karadeniz Teknik Üniversitesi) ve Yerbilimleri Dergisi Editörlerine teşekkür ederler.

KAYNAKLAR

- Akgün, F., 2000. Stratigraphic and paleoenvironmental significance of Eocene palynomorphs of the Central Anatolia, Turkey. (June 24-30, 2000), Abstracts, Nanjing, China.
- Anadon, P., Cabrera, L., Julia, R., and Marzo, M., 1991. Sequential arrangement and asymmetrical fill in the Miocene Rubielos de Mora Basin (Northeast Spain). In: P. Anadon, L. Cabrera and K. Kelts (eds), Lacustrine Facies Analysis. International Association of Sedimentologists Special Publication. No:13, 257-275.
- Atalay, Z., 2001. Amasya yöresindeki linyitli Çeltek Formasyonu'nun stratigrafisi, fasiyes ve çökelme ortamı özellikleri. Türkiye Jeoloji Bülteni, 44(2), 1-22.
- Barutoğlu, Ö. H., 1954. Tersakan Çayı batısındaki linyit yatağının rantabilite raporu. Maden Tetkik ve Arama Enstitüsü, Derleme No. 2111, 24s (yayınlanmamış).
- Belt, E. S., Flores, R. M., Warwick, P. D., Conway, K.M., Johnson, K.R., and Waskowitz, R.S., 1984. Relationship of fluviodeltaic facies to coal deposition in the Lower Fort Union Formation (Palaeocene), South-Western North Dakota, Sedimentology of Coal and Coal Bearing Sequences. R.A. Rahmani and R.M. Flores (eds) International Association of Sedimentologists Special Publication. 7, 177-195.
- Besly, B.M., and Collinson, J.D., 1991. Volcanic and tectonic controls of lacustrine and alluvial sedimentation in the Stephanian coal-bearing sequences of the Malpas-Short Basin, Catalonian Pyrenees. Sedimentology, 38, 3-26.
- Blumenthal, M.M., 1937. Amasya vilayetine tabi Çeltek'teki linyitli arazinin jeolojik teşekkürüğü hakkında rapor. Maden Tetkik ve Arama

- Enstitüsü, Derleme No. 157, 7s (yayınlanmamış).
- Boreen, T. D., and James, N. P., 1995. Stratigraphic sedimentology of Tertiary cool-water limestone, South-east Australia. *Journal of Sedimentary Research*, B65(1), 142-159.
- Brenchley, P. J., Pickerill, R. K., and Stromberg, S.G., 1993. The role of wave reworking on the architecture of storm sandstone facies, Bell Island Group (Lower Ordovician), Eastern New-foundland. *Sedimentology*, 40, 359-382.
- Clifton, H. E., 1981. Progradational sequences in Miocene shoreline deposits, southeastern Caliente Range, California. *Journal of Sedimentary Petrology*, 51, 165-184.
- Coleman J. M., and Gagliano S. M., 1964. Cyclic sedimentation in the Mississippi river deltaic plain. *Trans. Gulf Coast Association Geological Society*, 14, 67-80.
- Devine, P.E., 1991. Transgressive origin of channelled estuarine deposits in the Point Lookout sandstone, Northwestern New Mexico: A model for Upper Cretaceous, Cyclic regressive parasequences of the U.S. Western Interior. *The American Association of Petroleum Geologists Bulletin*, 75(6), 1039-1063.
- Eriş, E., 1996. Eosen yaşlı Çeltek (Amasya) kömürlerinin kimyasal-petrografik özellikleri, oluşum ortamı ve ekonomik potansiyelinin incelenmesi. *Hacettepe Üniversitesi Fen Bilimleri Enstitüsü*, Ankara, Yüksek Mühendislik Tezi, 63s (yayınlanmamış).
- Gümüşsu, M., 1978. Amasya İli Merzifon ve Suluova İlçeleri Kömür Jeolojisi. Maden Tetkik ve Arama Enstitüsü, Derleme No. 7063, 23s (yayınlanmamış).
- Gümüşsu, M., 1984. Amasya İli Çeltek Kömür Havzası'nın jeolojisi ve kömür potansiyelinin değerlendirilmesi. Ankara Üniversitesi Fen Fakültesi, Ankara, Doktora Tezi, 80s (yayınlanmamış).
- Harris, C.W., and Eriksson, K.A., 1990. Allogenic controls on the evolution of storm to tidal shelf sequences in the Early Proterozoic Uncompahgre Group, Southwest Colorado, USA. *Sedimentology*, 37, 189-213.
- Hezarfan, C., 1974. Amasya-Suluova-Çeltek Kömür İşletmesi civarının jeolojik raporu. *Maden Tetkik ve Arama Enstitüsü*, Derleme No. 6137, 6s (yayınlanmamış).
- Johnson, H. D., 1978. Shallow Siliciclastic Seas, In: H.G. Reading (eds.), *Sedimentary Environments and Facies*, Blackwell Scientific Publications, 207-257.
- Johnson, H.D., and Baldwin, C.T., 1996. Shallow clastic seas. *Sedimentary Environments: Process, Facies and Stratigraphy*, H.G. Reading (ed.), Department of Earth Sciences, University of Oxford, Third Edition, 232-280.
- Johnson, H.D., and Levell, B.K., 1995. Sedimentology of a transgressive, estuarine sand complex: the Lower Cretaceous Woburn Sands (Lower Greensand), Southern England. *Sedimentary Facies Analysis*, A.G. Plint (ed.), International Association of Sedimentologists Special Publication. 22, pp. 17-46.
- Karayıgit, A.İ., Eriş, E., and Cicioğlu, E., 1996. Coal geology, chemical and petrographical characteristics, and implications for coalbed methane development subbituminous coals from the Sorgun and Suluova Eocene basins in Turkey. *Coalbed Methane and Coal Geology*, R.A. Gayer and I. Harris (eds.) Geological Society of London, Special Publication, 109, 325-338.
- Kazancı, N., 1988. Kaba-taneli deltalar. *Jeomorfoloji Dergisi*, 16, 9-15.
- Kinsman, D.J.J., 1996, Gypsum and anhydrite of recent age, Trucial Coast. Persian Gulf. Proceedings of the 2nd International Salt Symposium Cleveland, Northern Ohio Geological Society, v.1, p. 302-326.
- Koç, C., 2002. Suluova (Amasya) kuzeybatisındaki Eosen çökellerinde sedimentolojik incelemeler. *Fırat Üniversitesi Fen Bilimleri Enstitüsü*, Elazığ, Yüksek Mühendislik Tezi, 52s (yayınlanmamış).
- Lebküchner, R. F., 1967. Çeltek Madeni Linyit Sahasının doğu bölümünde başka işleme imkanlarının incelenmesine ait rapor. *Maden Tetkik ve Arama Enstitüsü*, Derleme No. 2750, 7s (yayınlanmamış).
- McCabe, P. J., 1984. Depositional environments of coal and coal-bearing strata, *Sedimentology of Coal and Coal Bearing Sequences*, R. A. Rahmani and R.M. Flores (eds), International Association of Sedimentologists Special Publication. 7, 13-42.
- Miall, A.D., 1977. A review of braided river depositional environments. *Earth Science Review*, 3: 1-62.
- Midgaard, H. H., 1996. Inner-shelf to lower-shoreface hummocky sandstone bodies with evidence for geographic influenced combined flow, Lower Cretaceous West Greenland. *Journal of Sedimentary Research*, 66(2), 343-353.
- Mutti, E., and Ricci-Lucchi, F., 1972. Le torbiditi Dell'Apennino settentrionale: Introduzione all'analisi di facies. *Memoir Society Geology Italy*, 11, 161-199.
- Özdemir, İ. ve Pekmezci, F., 1983. Amasya-Suluova-Çeltek linyit sahaları jeolojisi ve sondaj aramaları raporu. *Maden Tetkik ve Arama*

- Genel Müdürlüğü. Derleme No: 428, 24s (yayınlanmamış).
- Öztürk, A., 1979. Ladik-Destek yörensinin tektoniği. *Türkiye Jeoloji Kurumu Bülteni*, 23(1), 21-31.
- Parnell, J., Shukla, B., and Meighan, I.G., 1989. The lignite and associated sediments of the Tertiary Lough Neagh Basin. *Irish Journal of Earth Sciences*, 10, 67-88.
- Pekmezciiler, S., 1953. Çeltek linyit aramaları raporu, Maden Tetkik ve Arama Enstitüsü. Derleme No. 2106, 78s (yayınlanmamış).
- Percival, C.J., 1989. Harthope Ganister—a transgressive barrier island to shallow-marine sand ridge from the Namurian of Northern England. *Journal of Sedimentary Petrology*, 62, 442-454.
- Plint, A.G., 1988. Global eustacy and the Eocene sequence in the Hampshire Basin, England. *Basin Research*, 1, 11-22.
- Pye, K., 1983. Red Beds. *Chemical Sediments and Geomorphology*, A.S. Goude, K. Pye (eds), Academic Press, London, 227-263.
- Reading, H.G. and Collinson, J.D., 1996. Clastic coasts, *Sedimentary Environments: Process, Facies and Stratigraphy*, H.G. Reading (ed), Department of Earth Sciences, University of Oxford, Third Edition, 154-228.
- Reineck, H.E., and Singh, I.B., 1972. Genesis of laminated sand and graded rhythmites in storm-sand layers of shelf mud. *Sedimentology*, 18, 123-128.
- Reineck, H.E., and Singh, I.B., 1973. *Depositional Sedimentary Environments*. Springer-Verlag, Berlin, 439pp.
- Rossetti, D.F., 1999. Soft-sediment deformation structures in late Albian to Cenomanian deposits, São Luis Basin, northern Brazil: evidence for palaeoseismicity. *Sedimentology*, 46, 1065-1081.
- Rust, B.R., 1978. Depositional models for braided alluviums. *Fluvial Sedimentology*, Miall, A.D. (ed.), Canadian Society of Petroleum Geologists Memoir 5 : 605-655.
- Sagri, M., Abbate, T., and Bruni, P., 1989. Deposits of ephemeral and perennial lakes in the Tertiary Daban Basin (Northern Somalia). *Palaeogeography, Palaeoclimatology, Palaeoecology*, 70, 225-233.
- Simons, D.B., Richardson, E.V., and Nordin, C.F., 1965. Sedimentary structures generated by flow in alluvial channels, Primary Sedimentary Structures and Their Hydrodynamic Interpretation, G.V. Middleton (ed.), Society of Economic Paleontologists and Mineralogists, Special Publication, 12, 34-42.
- Snedden, J.W., and Nummedal D., 1991. Origin and geometry of storm-deposited sand beds in modern sediments of the Texas continental shelf. *Shelf Sand and Sandstone Bodies: Geometry, Facies and Sequence Stratigraphy*, D.J.P. Swift, G.F. Oertel R.W. Tillman and J.A. Thorne (eds.). International Association of Sedimentologists Special Publication, 14.
- Turner, P., 1980. *Continental Red Beds*. Elsevier, Amsterdam, 562 pp.
- Van Houten F.B., 1973. Origin of red beds : a review 1961-1972. *Annual Review Earth and Planetary Sciences*, 1, 39-61.
- Walker, R.G., 1979. Shallow marine sandstone. *Facies Models*, Roger G. Walker (ed.), Geoscience Canada Reprint Series, 1, 75-89.
- Yemane, K., Siegenethaler, C., and Kelts, K., 1989. Lacustrine environment during Lower Beaufort (Upper Permian) Karoo Deposition in Northern Malawi. *Palaeogeography, Palaeoclimatology, Palaeoecology*, 70, 165-178.